

## 仙台地方におけるアスファルト舗装の温度分布について

○東北大学工学部 正員 村井貞規  
東北工業大学工学部 正員 高橋彦人  
東北工業大学工学部 正員 今井辰郎

### 1.はじめに

舗装は常に自然環境の影響を受けてその温度分布は不斷に変化する。特にアスファルト舗装においては 温度はその挙動に大きな影響を及ぼすことが知られている。著者らは仙台市ハ木山地区に温度分布測定のためのアスファルト舗装を鋪設し継続的な計測を行ない、アスファルト舗装の温度変化に対する挙動について調査してきた。本報告は、これまでに得られた試験舗装の温度分布の観測結果について述べるヒヒモと、各々の舗装材料の熱定数の測定を行ないその結果を用いた多層構造の温度分布に関するシミュレーションについて述べたものである。

### 2. 舗装構造及び温度分布の測定

舗設した試験舗装は表面が  $10.0\text{m} \times 2.6\text{m}$  で断面は図-1に示したとおりである。表層は密粒アスコン、基層は粗粒アスコンとした。舗装厚はそれぞれ  $10\text{cm}$  で通常の舗装よりもやや厚めとした。これはアスファルト層内の温度分布に特に着目したためである。路盤には碎石を用い、舗装厚は  $30\text{cm}$  とした。

舗装内温度の測定には熱電対を使用し図-1に示したように12点を測定点に選んだ。得られた結果は自記記録計により記録した。

### 3. 測定結果

舗装にとって最も厳しい温度条件は夏期の晴天時と言ふ。測定された晴天時の日温度変化の一例を図-2に示す。この場合 温度変化は温度上昇の勾配が大きく 下降の勾配が小さい。また一般に表面が大き打温度変化を受けて場合でも路床面はほとんど影響を受けない。

図-3は測定開始から4ヶ月間の日最高気温と舗装内の最高温度の相関を示したものである。相関係数は0.91で強い相関を有するのは当然であるが舗装内温度がやや高い傾向を有している。

### 4. 舗装材料の熱定数

舗装内の温度分布を數値的に明らかにするには、舗装材料の熱定数を知る必要がある。ここではW.T.Thomsonの測定方法を参考にして熱伝導率、温度拡散率を得て、供試体の寸法は外径が  $20\text{cm}$  高さ  $40\text{cm}$  で、さらに熱伝導率の場合

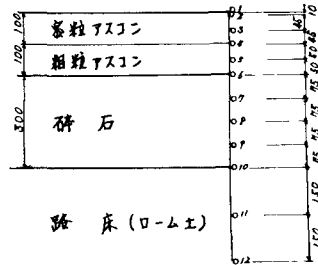


図-1 舗装断面

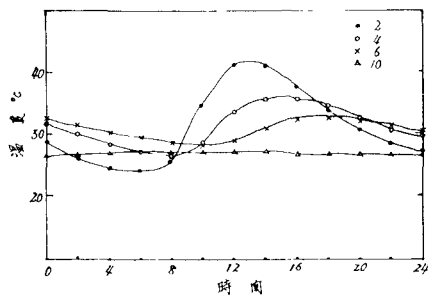


図-2 温度分布日変化

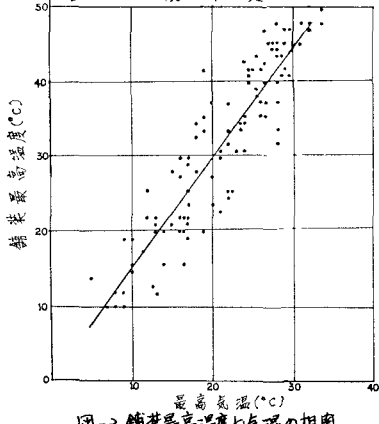


図-3 舗装最高温度と気温の相関

内側に径4cmの筒を入し内部の水を加熱することにより熱定数の測定を行なつた。得られた熱定数値を表-1に示す。

### 5. 温度分布の解析

図-2に示したように、1日の舗装の温度変化は、半椭円正弦波形を呈さない。そこで温度分布を正確に予測するためには表面温度をフーリエ級数として表示することが必要である。図-2に対するフーリエ係数を表-2に示す。解析はフーリエアナライザによつた。

舗装を熱定数値で簡して2層構造と仮定すると熱伝導方程式は次式となる。 $T_1, T_2$ を各層の温度として

$$\left. \begin{aligned} \frac{\partial T_1}{\partial t} &= K_1 \frac{\partial^2 T}{\partial x^2} \quad (-h < x < 0, 0 < t) \\ \frac{\partial T_2}{\partial t} &= K_2 \frac{\partial^2 T}{\partial x^2} \quad (0 < x, 0 < t) \end{aligned} \right\} \quad (1)$$

初期条件及び境界条件は $f(t)$ を表面温度として

$$T_1(0, x) = T_2(0, x) = 0 \quad (2)$$

$$T_1(t, -h) = f(t), \quad T_2(t, \infty) = 0, \quad T_1(t, 0) = T_2(t, 0) \quad (3)$$

$$\lambda_1 \frac{\partial T_1(t, 0)}{\partial x} = \lambda_2 \frac{\partial T_2(t, 0)}{\partial x} \quad (3)$$

$\lambda_1$ : 第1層の熱伝導率,  $K_1$ : 第1層の温度拡散率  
これらの条件のもとK第1層の解は次式となる。

$$T_1 = \frac{a_0}{2} \sum_n (-1)^n v^n \left\{ v \operatorname{erf} \left( \frac{A_1}{2\sqrt{v}} \right) + \operatorname{erf} \left( \frac{A_2}{2\sqrt{v}} \right) \right\} + C_1 \sum_n \sum_m (-1)^m v^m \left\{ N A_1 \int_0^h \sin(m) \frac{e^{-\frac{A_1^2}{4K_1 v}}} {\sqrt{2\pi}} \left[ 2 \int_0^{d_1} (m) \sin(d) \frac{e^{-\frac{A_1^2}{4K_1 v}}}{\sqrt{2\pi}} + A_2 \int_0^{d_2} (m) \sin(d) \frac{e^{-\frac{A_2^2}{4K_2 v}}}{\sqrt{2\pi}} \right] \right\} \quad (4)$$

$$\text{ここで } C_1 = a_1, C_2 = a_2, C_3 = b_1, C_4 = b_2, A_1 = (2m+1)\hbar - x, A_2 = 2nh + x, u = \frac{\lambda_2 \sqrt{K_1}}{\lambda_1 \sqrt{K_2}}, v = \frac{1-u}{1+u}$$

$$d_1 = \frac{2\pi}{T_0}(t-\tau), d_2 = 2\frac{2\pi}{T_0}(t-\tau), d_3 = \frac{2\pi}{T_0}(t-\tau) + \frac{\pi}{4}, d_4 = 2\frac{2\pi}{T_0}(t-\tau) + \frac{3\pi}{4}$$

これらK実際の値を入れることでより解を得ることができる。この結果を図-4に示す。

### 5. あとねき

仙台地方における舗装の長邊-温度の相関関係などを算出しより得るこりがでて、さらに測定を続けてより包括的なものにしてい。舗装内温度分布について有意味のあるシミュレーション結果が得られただが、さらによ層構造を対象とするときもく、アスファルト舗装内の温度応力なども着目して解析を行なつていただきたい。

### 参考文献

W. T. Thomson; A Method of Measuring Thermal Diffusivity and Conductivity of Stone and Concrete, Proc. A.S.T.M., Vol. 40, 1940

	熱伝導率 $\lambda$ J/cm sec °C kcal/m hr °C	温度拡散率 $K$ cm²/sec $m^2/k$		
繊維アスン	0.01030	0.895	0.00445	0.00160
粗粒アスン	0.00911	0.783	0.00416	0.00150
碎石	0.00444	0.382	0.00343	0.00124
ローム	0.00602	0.517	0.00450	0.00162

表-1 热定数値

フーリエ係数	$a_1$	$a_2$	$a_3$	$b_1$	$b_2$	$b_3$
値	-5.56	2.94	-0.93	-4.71	1.96	0.22

表-2 フーリエ係数

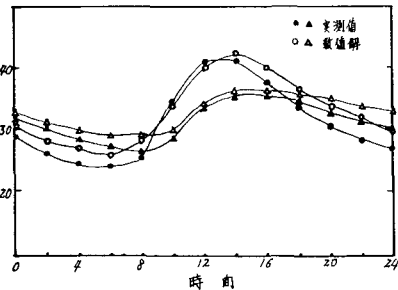


図-4 解析例